

Zeitschrift: Mémoires de la Société Vaudoise des Sciences Naturelles
Herausgeber: Société Vaudoise des Sciences Naturelles
Band: 11 (1955-1956)
Heft: 2

Artikel: Propriétés électriques et structure de lames minces d'argent
Autor: Borel, Jean-Pierre
Kapitel: [Photos]
DOI: <https://doi.org/10.5169/seals-257486>

Nutzungsbedingungen

Die ETH-Bibliothek ist die Anbieterin der digitalisierten Zeitschriften auf E-Periodica. Sie besitzt keine Urheberrechte an den Zeitschriften und ist nicht verantwortlich für deren Inhalte. Die Rechte liegen in der Regel bei den Herausgebern beziehungsweise den externen Rechteinhabern. Das Veröffentlichen von Bildern in Print- und Online-Publikationen sowie auf Social Media-Kanälen oder Webseiten ist nur mit vorheriger Genehmigung der Rechteinhaber erlaubt. [Mehr erfahren](#)

Conditions d'utilisation

L'ETH Library est le fournisseur des revues numérisées. Elle ne détient aucun droit d'auteur sur les revues et n'est pas responsable de leur contenu. En règle générale, les droits sont détenus par les éditeurs ou les détenteurs de droits externes. La reproduction d'images dans des publications imprimées ou en ligne ainsi que sur des canaux de médias sociaux ou des sites web n'est autorisée qu'avec l'accord préalable des détenteurs des droits. [En savoir plus](#)

Terms of use

The ETH Library is the provider of the digitised journals. It does not own any copyrights to the journals and is not responsible for their content. The rights usually lie with the publishers or the external rights holders. Publishing images in print and online publications, as well as on social media channels or websites, is only permitted with the prior consent of the rights holders. [Find out more](#)

Download PDF: 11.02.2026

ETH-Bibliothek Zürich, E-Periodica, <https://www.e-periodica.ch>

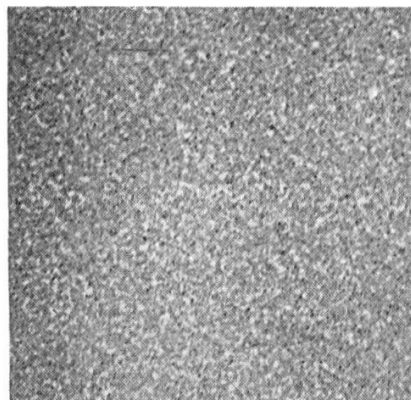


PHOTO E 1.

Lame de $0,8 \text{ m}\mu$ déposée à $0,7 \text{ m}\mu/\text{min.}$
sur un support à 27°C
Observation microscopique à 9 W/cm^2 .

1 μ

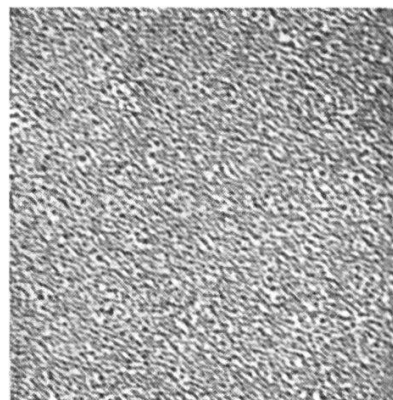


PHOTO E 2.

Lame de $2,6 \text{ m}\mu$ déposée à $6 \text{ m}\mu/\text{min.}$
sur un support à 27°C
Observation microscopique à 9 W/cm^2 .

1 μ

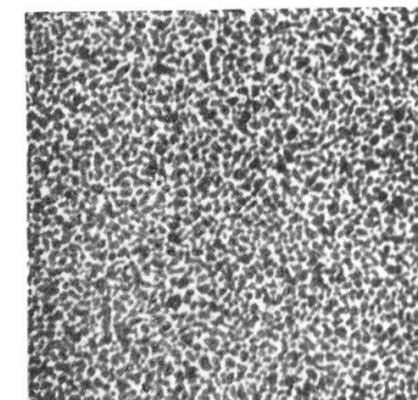


PHOTO E 3.

Lame de $7 \text{ m}\mu$ déposée à $0,5 \text{ m}\mu/\text{min.}$
sur un support à 20°C
Observation microscopique à 9 W/cm^2 .

1 μ

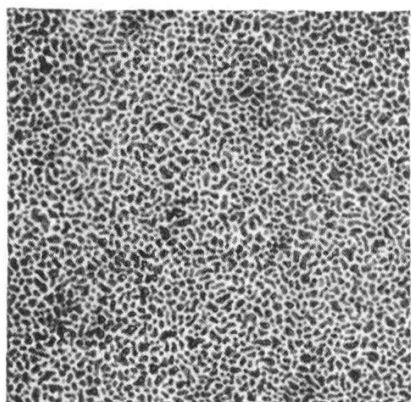


PHOTO E 4.

Lame de $8,7 \text{ m}\mu$ déposée à $0,5 \text{ m}\mu/\text{min.}$
sur un support à 25°C
Observation microscopique à 9 W/cm^2 .

1 μ

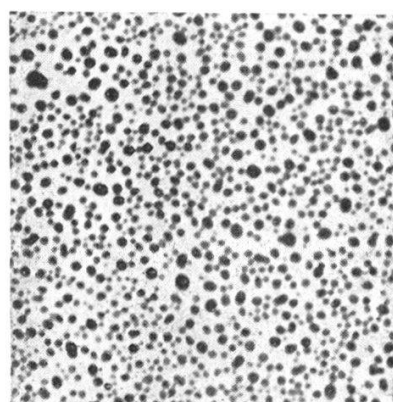


PHOTO E 5.

Même lame que E 4, mais observée
avec une puissance de $500-600 \text{ W/cm}^2$.

1 μ

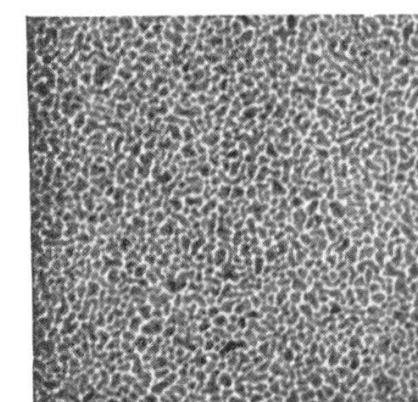


PHOTO E 6.

Lame de $12 \text{ m}\mu$ déposée à $0,5 \text{ m}\mu/\text{min.}$
sur un support à 25°C
Observation microscopique à 9 W/cm^2 .

1 μ

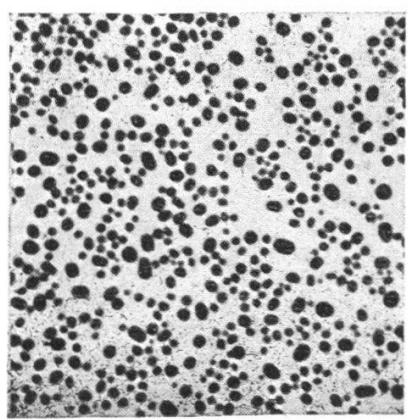


PHOTO E 7.

Même lame que E 6, mais observée avec une puissance de 500-600 W/cm².

1 μ

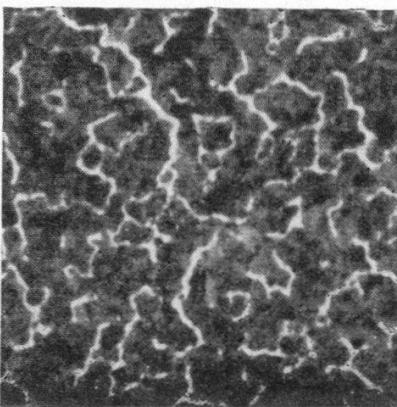


PHOTO E 10.

Lame de 18 mμ déposée à 5 mμ/min. sur un support à 19° C Observation microscopique à 9 W/cm².

1 μ

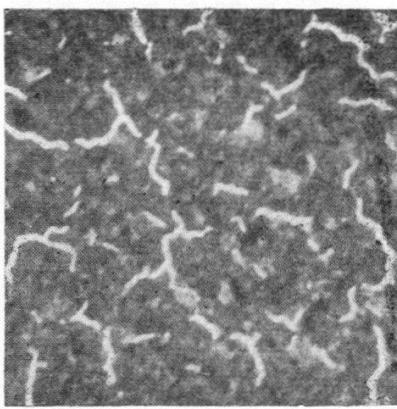


PHOTO E 11.

Lame de 21 mμ déposée à 40 mμ/min. sur un support à 19° C Observation microscopique à 9 W/cm².

1 μ

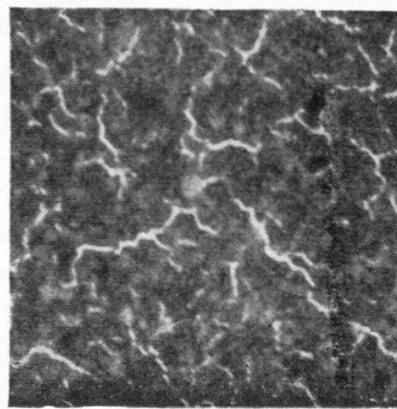


PHOTO E 9.

Lame de 14 mμ déposée à 7 mμ/min. sur un support à 25° C Observation microscopique à 9 W/cm².

1 μ

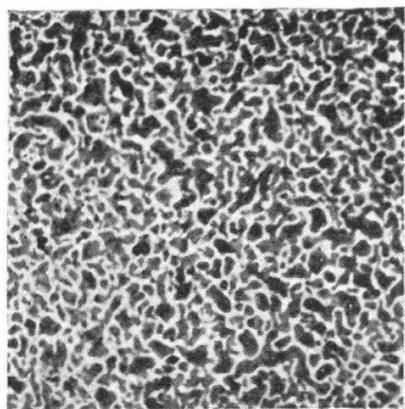


PHOTO E 8.

Lame de 12 mμ déposée à 0,5 mμ/min. sur un support à 26° C Observation microscopique à 9 W/cm².

1 μ

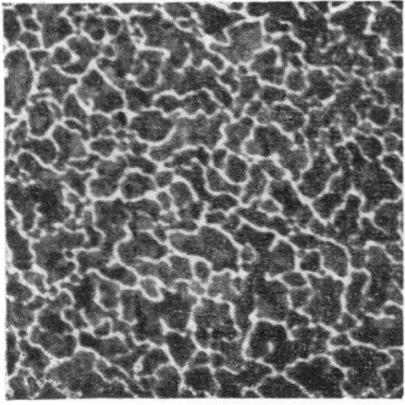


PHOTO E 12.

Lame identique à E 11, mais déposée à 8 mμ/min. Observation microscopique à 9 W/cm².

1 μ

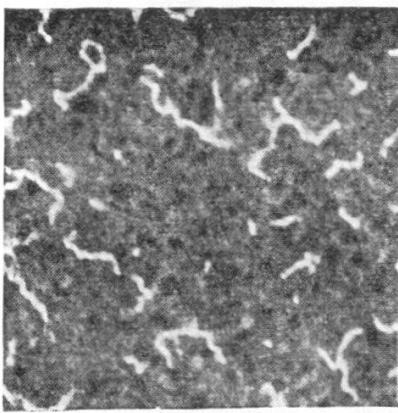


PHOTO E 13.
Lame identique à E 11 et E 12, mais

déposée à $2 \text{ m}\mu/\text{min.}$
(support à 22°C)

1μ

EVAPORATIONS RAPIDES

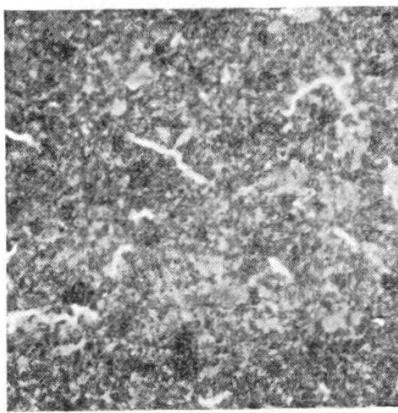


PHOTO E 14.

Lame de $25 \text{ m}\mu$ déposée à $3 \text{ m}\mu/\text{min.}$
sur un support à 22°C

Observation microscopique à 9 W/cm^2 .

1μ

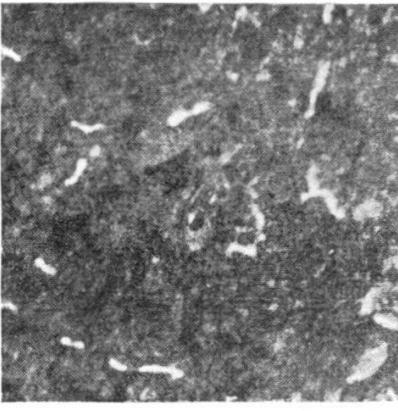


PHOTO E 15.

Lame de $34 \text{ m}\mu$ déposée à $4 \text{ m}\mu/\text{min.}$
sur un support à 19°C

Observation microscopique à 9 W/cm^2 .

1μ

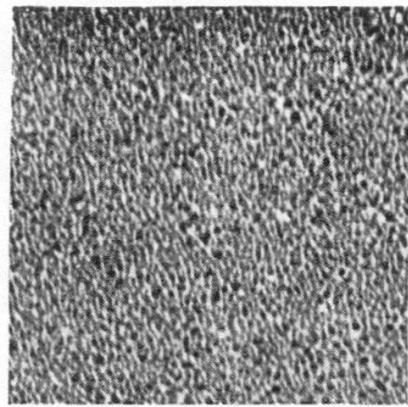


PHOTO E 16.

Lame de $4,7 \text{ m}\mu$ déposée à $12 \text{ m}\mu/\text{min.}$
sur un support à 25°C

Observation microscopique à 9 W/cm^2 .

1μ

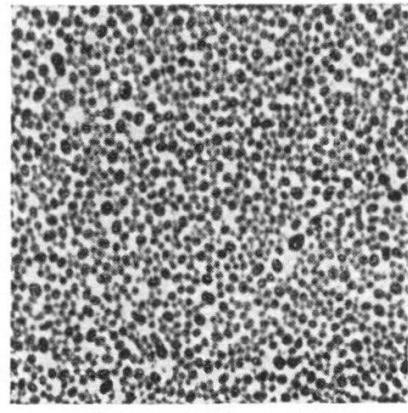


PHOTO E 17.

Même lame que E 16, mais observée
avec une puissance de $500\text{-}600 \text{ W/cm}^2$.

1μ

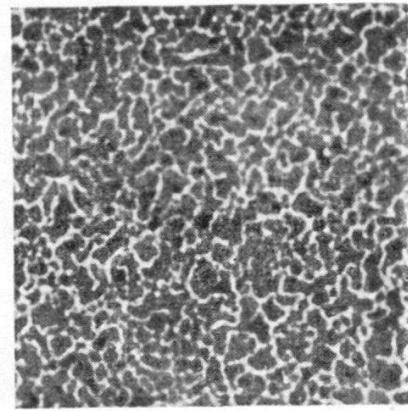


PHOTO E 18.

Lame de $7 \text{ m}\mu$ déposée à $200 \text{ m}\mu/\text{min.}$
sur un support à 20°C

Observation microscopique à 9 W/cm^2 .

1μ

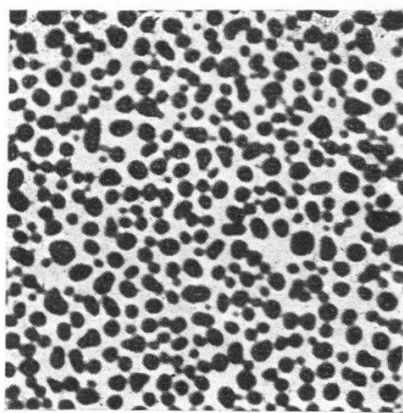


PHOTO E 19.

Même lame que E 18, mais chauffée à 100° C pendant 5.00 h.
Observation microscopique à 9 W/cm².

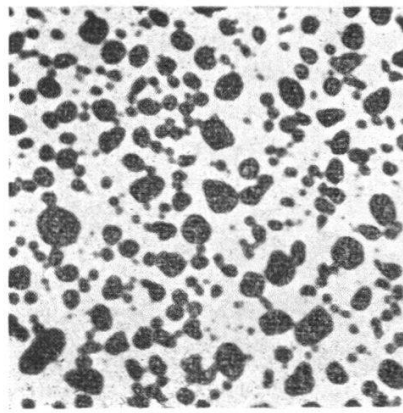


PHOTO E 20.

Même lame que E 18, mais observée avec une puissance de 500-600 W/cm².

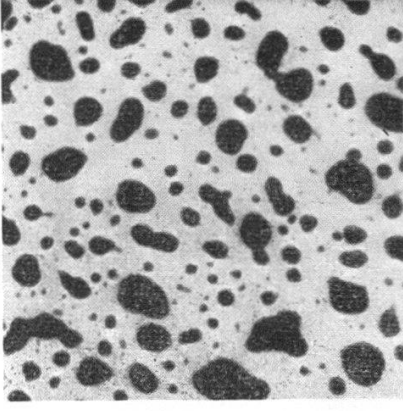
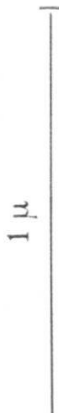


PHOTO E 21.

Même lame que E 18, mais chauffée à 160° C pendant 5.00 h.
Observation microscopique à 9 W/cm².

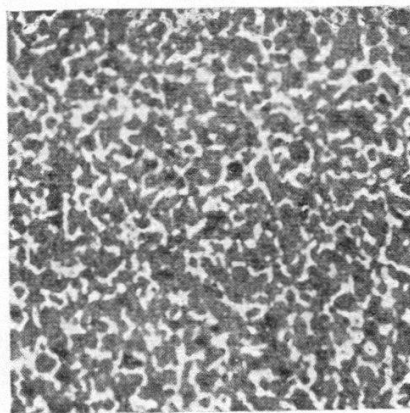
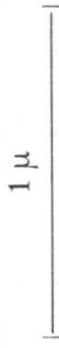


PHOTO E 22.

Lame de 8,8 mμ déposée à 20 mμ/min.
sur un support à 20° C
Observation microscopique à 9 W/cm².

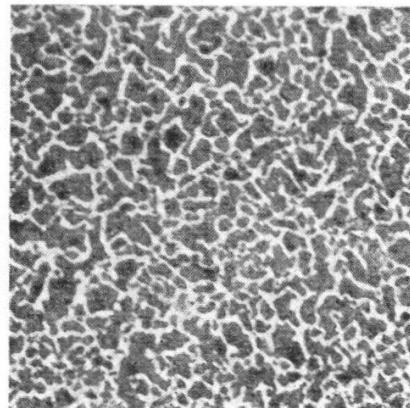
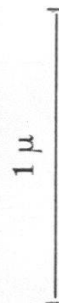


PHOTO E 23.

Même lame que E 22, mais chauffée à 60° C pendant 5.00 h.
Observation microscopique à 9 W/cm².

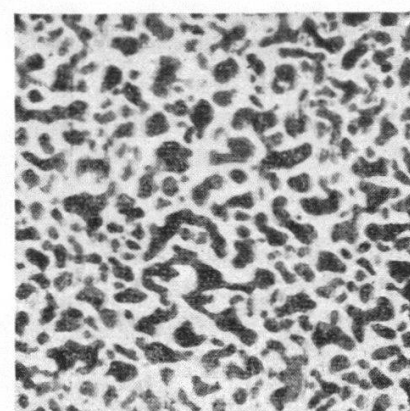
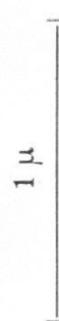
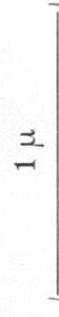


PHOTO E 24.

Même lame que E 22, mais chauffée à 110° C pendant 5.00 h.
Observation microscopique à 9 W/cm².



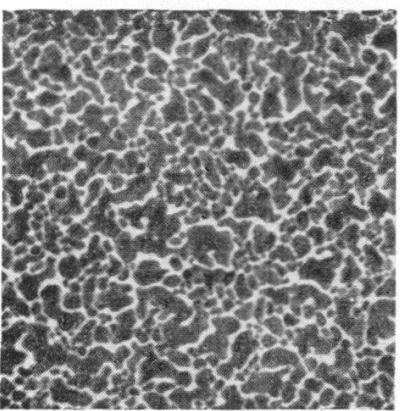


PHOTO E 25.

Même lame que E 22, mais observée avec une densité de puissance un peu supérieure à 9 W/cm^2 .

1 μ

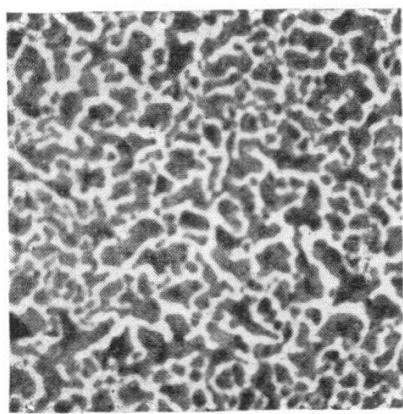


PHOTO E 26.

Même lame que E 22, mais observée avec une puissance de $500\text{-}600 \text{ W/cm}^2$.

1 μ

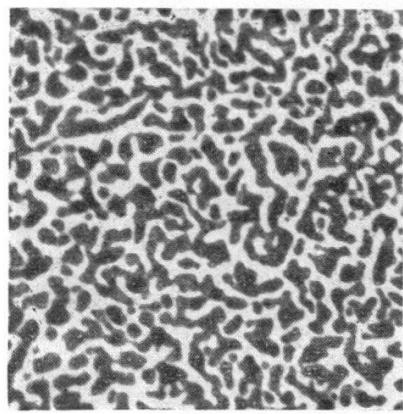


PHOTO E 27.

Lame de $7 \text{ m}\mu$ déposée à $15 \text{ m}\mu/\text{min}$. sur un support à $\approx 100^\circ \text{C}$

1 μ

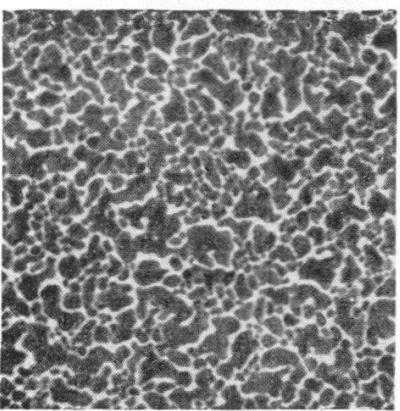
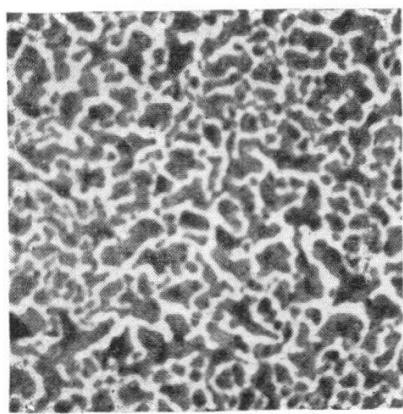


PHOTO E 28.

Lame de $10,5 \text{ m}\mu$ déposée à $20 \text{ m}\mu/\text{min}$. sur un support à 25°C Observation microscopique à 9 W/cm^2 .

1 μ

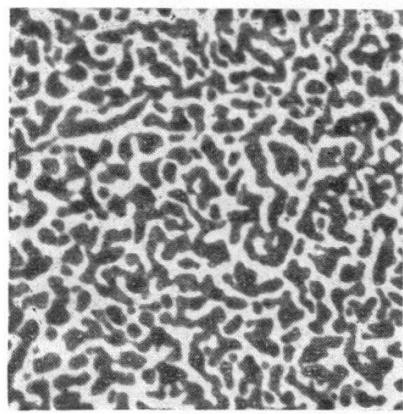


PHOTO E 29.

Lame de $22 \text{ m}\mu$ déposée à $220 \text{ m}\mu/\text{min}$. sur un support à 19°C Observation microscopique à 9 W/cm^2 .

1 μ

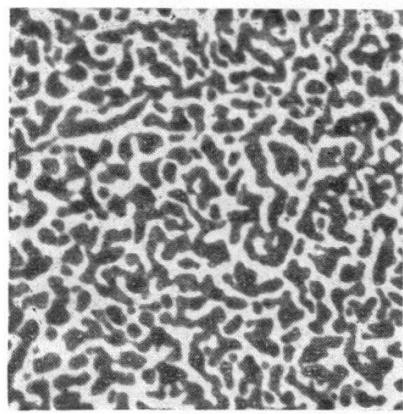
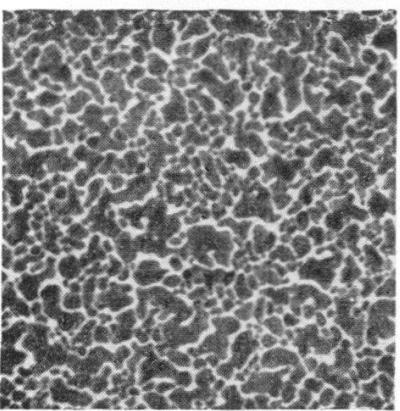
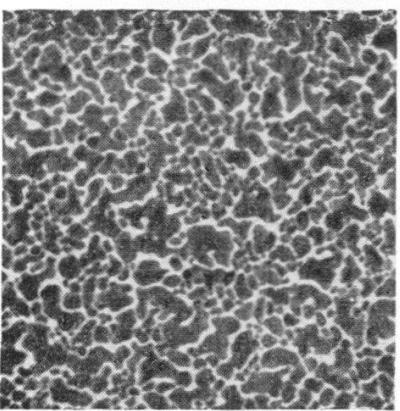
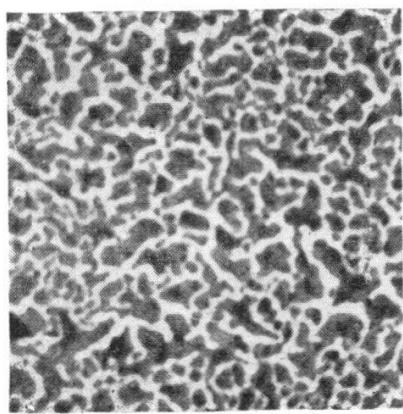


PHOTO E 30.

Même lame que E 29, mais observée avec une puissance de $500\text{-}600 \text{ W/cm}^2$.

1 μ



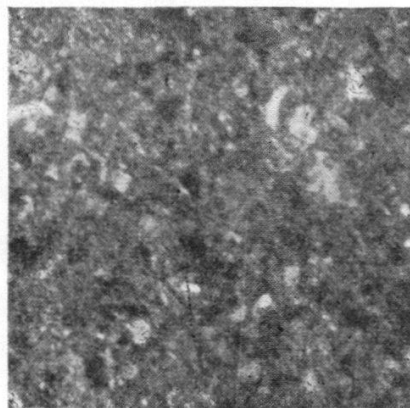


PHOTO E 31.
Lame de $25 \text{ m}\mu$ déposée à $50 \text{ m}\mu/\text{min}$.
sur un support à 22°C
Observation microscopique à 9 W/cm^2 .

1μ

EVAPORATIONS LENTES

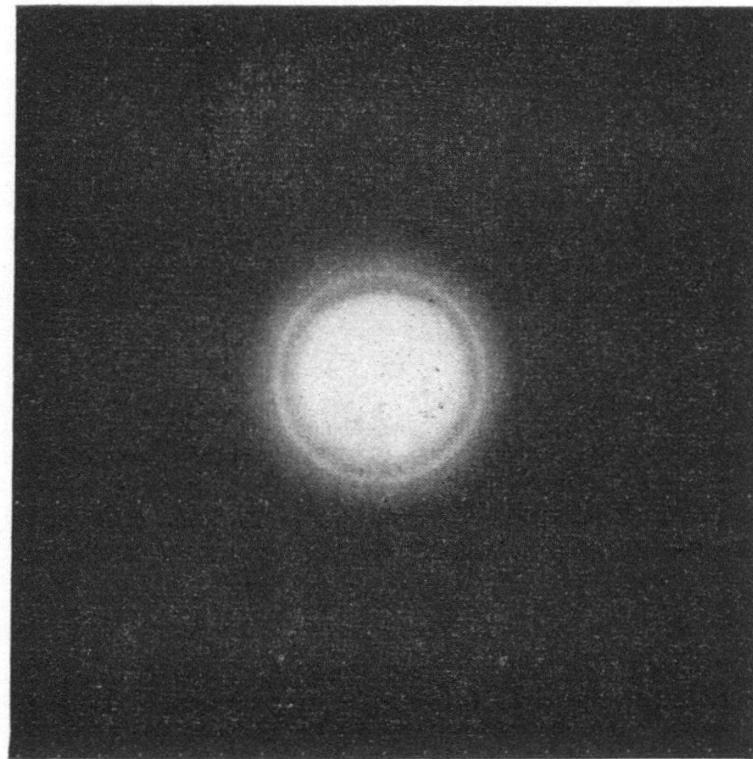


PHOTO D 1. — $e_0 = 1,5 \text{ m}\mu$.

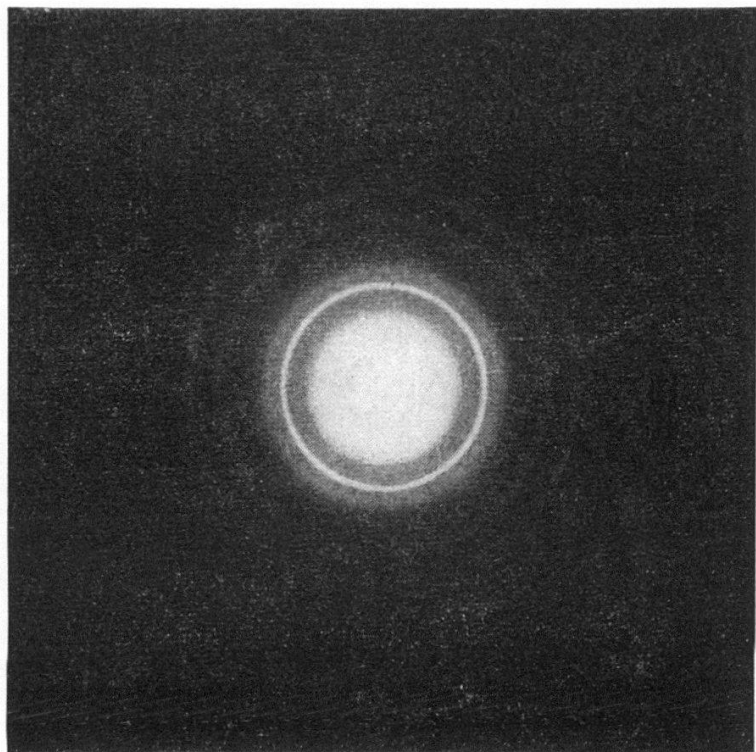


PHOTO D 2. — $e_0 = 5 \text{ m}\mu$.

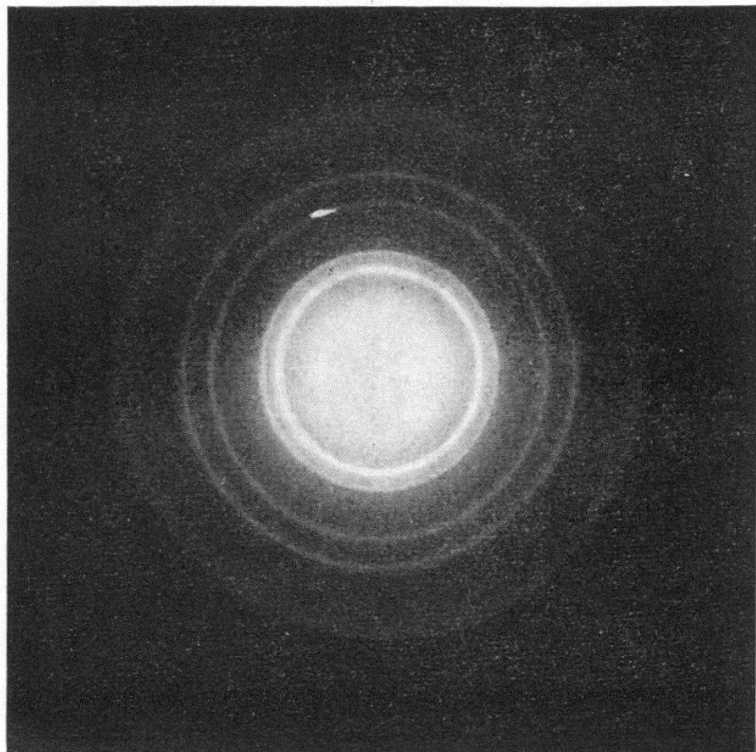


PHOTO D 3. — $e_0 = 7,8 \text{ m}\mu$.

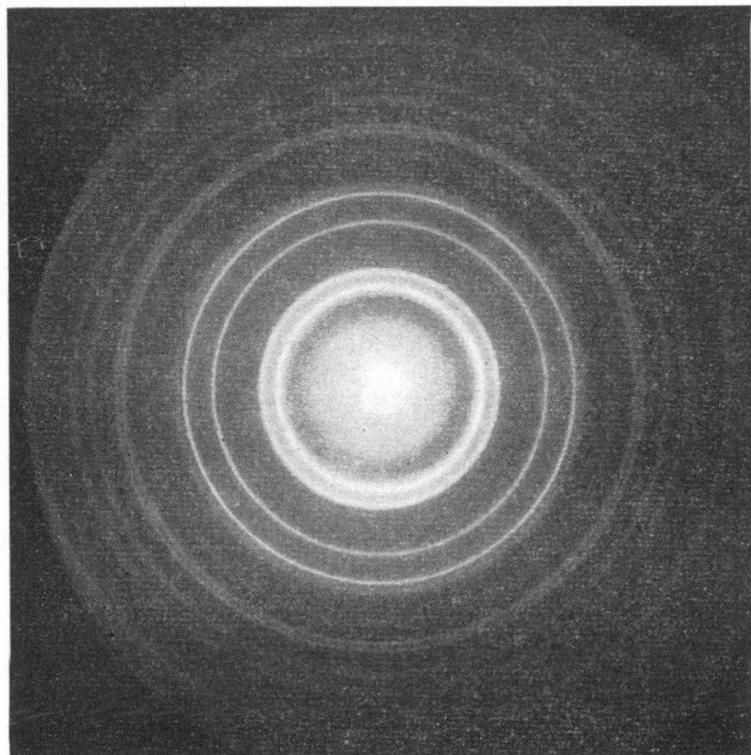


PHOTO D 4. — $e_0 = 23 \text{ m}\mu$.

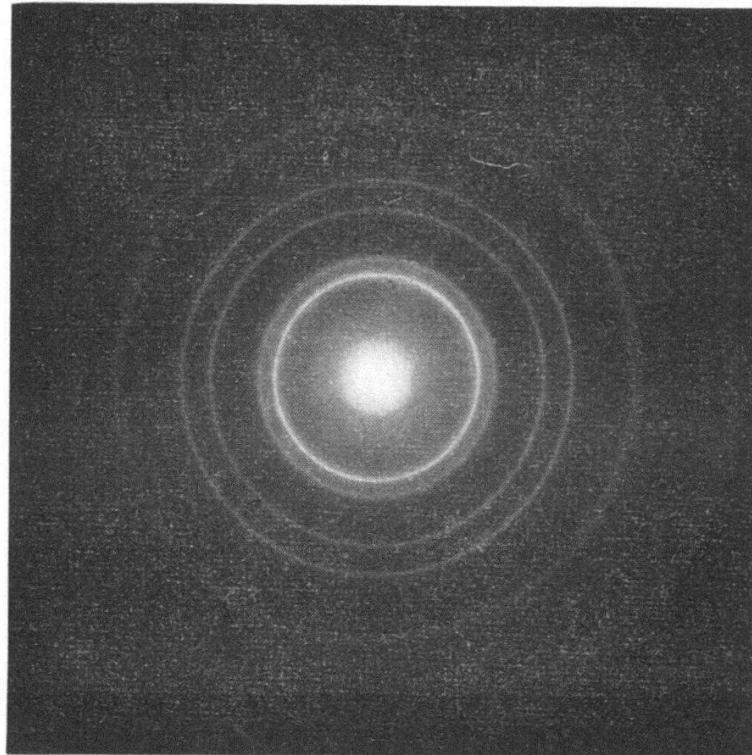


PHOTO D 5. — $e_0 = 35 \text{ m}\mu$.

